

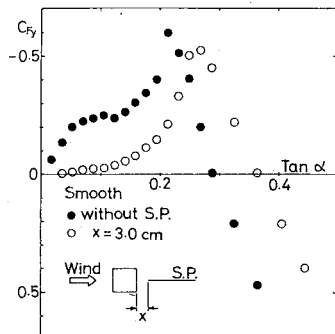
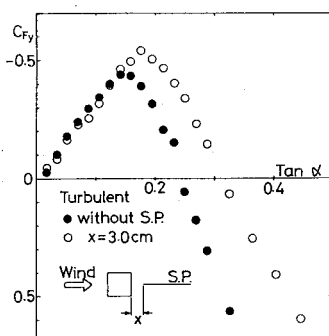
矩形断面のギャロッピングに及ぼすスプリッタ板の効果

大阪府立工業高等専門学校 正員 岡南博夫
 大阪府立工業高等専門学校 正員○福口 治
 防衛省 宮原一雅

1. まえがき 矩形断面のような基本的断面のギャロッピング発生機構を調べるために、断面表面圧力分布の測定、および断面周辺流れの可視化等を行った研究が認められ、比較的その発生を予測することが可能と言われているギャロッピング振動現象に対しては詳細な評価が加えられており。本報告は、矩形断面のギャロッピング振動に関して、その変位応答特性および静的空気力係数に及ぼす後流軸上に設置されたスプリッタ板の効果を実験的に調べようとするものである。このことは、後流に放出される周期渦が抑制される場合の変位応答特性と静的空気力係数の迎角に関する変化特性からギャロッピングに及ぼす交番渦の寄与を調べることを目的としたものである。しかしながら、スプリッタ板の存在は単に交番渦を抑制するだけでなく、断面との相互作用を伴う。ここでは、まず第一段階としてスプリッタ板の効果に関する基礎的資料を得ることを目的とした。

2. 実験方法 使用した風洞は、大阪府立工業高専で試作した吹出し式風洞 ($0.4'' \times 0.4''$)、および吸込み式風洞 ($0.94'' \times 1.5'' \times 7.2m$) の2種類である。吹出し式風洞では1辺 $4cm$ で長さ $35cm$ の正方形断面模型を使用し、定常空気力係数 C_D を一様流中と格子乱流中（乱れ強さ $I_u = 7\%$ ）で三分力換出器（日章電機製）によって測定した。吸込み式風洞では同じ断面で長さ $75cm$ の模型をスプリング支持し、電磁ダンパーにより減衰率を変化させて変位応答特性の測定を行った。なお、スプリッタ板は長さ $80cm$ のアルミ板を使用した。

3. 実験結果および考察 図-1、図-2は、それぞれ水一様流中と格子乱流中における C_D に及ぼすスプリッタ板の効果を示す。以前、スプリッタ板の位置による交番渦発生限界を調べて $X/D < 2.5$ で渦の発生が抑制されることを報告した。実験結果は示していないが、ここでスプリッタ板の位置を変化させて C_D の変化特性を測定したところ、一様流中において、 $X/D = 2.5$ 附近を境として C_D が大きく変化する。 $X/D < 2.5$ で渦の発生していない場合には、図-1に示す $X=3cm$ の結果とほぼ同じであり $X/D > 2.5$ で渦が発生すれば、スプリッタ板無しの結果とほぼ同じとなる。渦の発生の無い状態では、迎角の小さい領域において C_D の値に関する変化が極めて小さく、両側面上の圧力差が小

図-1 C_D - $\tan \alpha$ (一様流)図-2 C_D - $\tan \alpha$ (格子乱流)

さいことが知ら水、一方交番渦の発生に伴いそ水が大きくなる。また、再付着の始まるとそえら水の C_{Dy} のピークを示す迎角は、交番渦の発生によって小さくなる。こ水らは、交番渦に起因する剥離せん断層の変動と側面との相互干渉によるものと考えら水るが、さらに流れの可視化等によつて観察したい。同時に、図-2に示す格子乱流中の結果は、ピークを示す迎角以下において、交番渦にかかわらず C_{Dy} がほぼ同じ値を示しており、この点に関してはさらに実験を行い詳細に調べたい。図-3へ図-5は、無次元振幅と無次元風速との関係を示す実験結果である。こ水らの図に示した実線は、図-1、図-2に示した C_{Dy} の実験結果を α/δ に関する高次奇関数で近似して準定常空気力理論に従つて求めた計算結果である。ただし、スプリッターボードを設置した場合の運動時には、断面の運動に伴う相互作用とともに、固定されたスプリッターボードとの相対位置が存在し、单纯に図-1、図-2の C_{Dy} から準定常空気力理論を適用するに付問題を有してゐる。図-3に示す一様流中のスプリッターボード無しの場合には、変位応答特性は近似的に準定常空気力理論に従つてゐるようである。一方 $X=3\text{cm}$ のスプリッターボードを設置した場合には、運動に伴う相互作用が強く表わ水る。また、準定常空気力理論から予想される広範囲の不安定域リミットサイクルが実験では認めら水ない。格子乱流中では、逆に、準定常空気力理論で推定された以上に不安定域リミットサイクルが実験で認めら水る。図-6は、スプリッターボードの位置によって無次元ゼロ発振風速がどのように変化するかを示し、スプリッターボードが模型から離れるに従つてそ水らの相互作用が小さくなり準定常空気力理論による推定値に接近することが知ら水る。また、スプリッターボードが存在して交番渦が発生する位置にあれば、スプリッターボード無しのゼロ発振風速とほぼ同じ値を示す。

最後に、京都大学白石成人教授、松本勝助教授、温かい御指導と激励を感謝致します。

参考文献

- 1) 中村友成、構造物の耐風性第4回シンポ、1976
- 2) 中村友成、第6回風工学シンポ、1980
- 3) 清田・岡島、第7回風工学シンポ、1982
- 4) Laneville Gartshore · Parkinson, Proc. 4th Int. Conf. Wind Effects and structures, 1975
- 5) 国際・福山、大阪府立清掃研究所紀要、1984

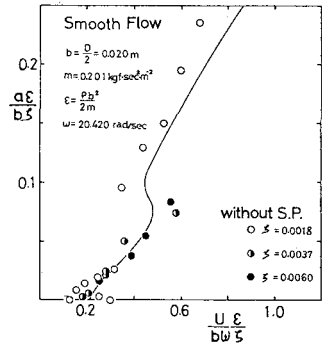


図-3 無次元振幅と無次元風速
(一様流、スプリッターボード無し)

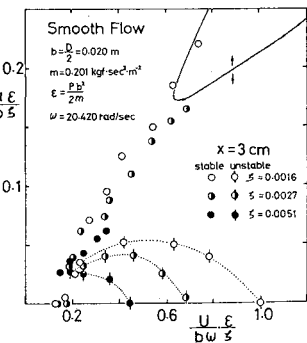


図-4 無次元振幅と無次元風速
(一様流, X = 3 cm)

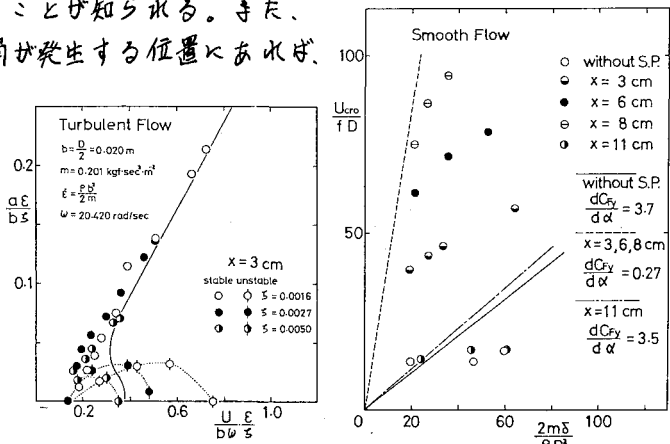


図-5 無次元振幅と無次元風速
(格子乱流, X = 3 cm)

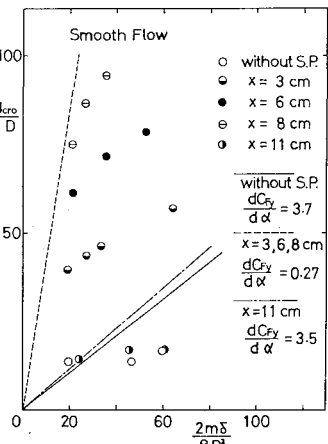


図-6 ゼロ発振風速及びスプリッターボードの位置による変化特性